

# DS 5 de physique (partie II)

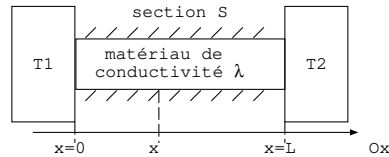
Le sujet comporte deux problèmes à traiter dans l'ordre de votre choix. Il est demandé de numéroter les pages au format  $i/N$  où  $i$  est le numéro de la page et  $N$  le nombre de pages. Tout résultat doit être justifié par une loi ou un schéma ou une explication...

## I. Igloo

### Partie I : généralités

Les habitants des régions polaires savent qu'un abri constitué de neige (igloo, abri sous arbre, trou à neige,...) offre un rempart efficace contre le froid. Nous allons nous intéresser ici au cas de l'igloo.

On considère un matériau solide de section  $S$ , de longueur  $L$ , calorifugé latéralement et placé au contact de deux thermostats de températures constantes  $T_1$  et  $T_2$ . On note  $\rho$  sa masse volumique,  $\lambda$  sa conductivité thermique,  $c$  sa capacité thermique massique et  $T(x, t)$ . On note respectivement  $T(x, t)$  et  $\vec{j}_{th}(x, t)$ , la température et le vecteur densité de courant thermique à l'abscisse  $x$  à l'instant  $t$ .



### Régime variable

1. Ecrire la loi de Fourier en précisant son sens physique.
2. Montrer, à l'aide d'un bilan thermique sur un système infinitésimal à préciser, que la température satisfait l'équation de diffusion:  $\frac{\partial T}{\partial x}(x, t) = D \frac{\partial^2 T}{\partial x^2}(x, t)$ . Exprimer  $D$  en fonction des données.
3. Déterminer l'unité de la grandeur  $\tau = \frac{\rho c L^2}{\lambda}$  et préciser sa signification concrète. Justifier physiquement, sans calcul, le fait que  $\tau$  dépende de  $L^2$  et non de  $L$ .
4. Le phénomène de diffusion thermique est-il un processus réversible? Justifier.

### Régime stationnaire

On se place en régime stationnaire, on note  $\mathcal{P}_{th}(x)$  la puissance thermique traversant la section  $S$  de solide en  $x$ , de la zone de température  $T_1$  vers la zone de température  $T_2$ .

5. Définir, par analogie entre les grandeurs électrique et thermique, la résistance thermique  $R_{th}$ .
6. Donner l'équation différentielle vérifiée par la température en régime stationnaire et en déduire l'expression de  $T(x)$  en fonction de  $x$ ,  $L$ ,  $T_1$  et  $T_2$ .
7. Exprimer la puissance thermique  $\mathcal{P}_{th}(x)$ . Que remarquez-vous? En déduire l'expression de la résistance thermique du solide. Préciser comment évolue la résistance thermique en fonction de  $\lambda$  et justifier physiquement cette dépendance.

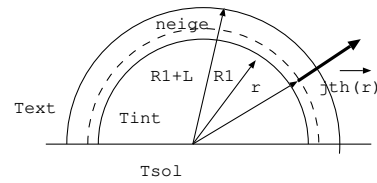
Lorsqu'un solide de température de surface  $T_s$  et un fluide, dont la température loin du solide est  $T_f$ , sont en contact par le biais d'une surface  $S'$ , on observe un transfert thermique entre le solide et le fluide. La loi de Newton donne le vecteur densité de courant thermique associé  $j_{cc} = h(T_s - T_f)$  où  $h$  désigne le coefficient de transfert conducto-convectif.

8. Exprimer la résistance conducto-convective en fonction de  $h$  et  $S'$ .

### Partie II: bilan thermique d'un igloo

On modélise un igloo par une demi-sphère creuse de rayon intérieur  $R_1 = 1,5 m$ , fabriqué à partir de blocs de neige de conductivité thermique  $\lambda$  et d'épaisseur supposée constante égale à  $L = 30 cm$ .

On note  $T(r)$  et  $\vec{j}_{th} = j_{th}(r)\vec{e}_r$ , respectivement la température et le vecteur densité de courant thermique dans la neige pour  $R_1 < r < R_1 + L$ , en coordonnées sphériques. Les températures  $T_{ext}$  et  $T_{int}$  sont les températures à l'extérieur et à l'intérieur de l'igloo. On donne le gradient en coordonnées sphériques:  $\vec{\text{grad}}f(r) = \frac{df}{dr}\vec{e}_r$ .



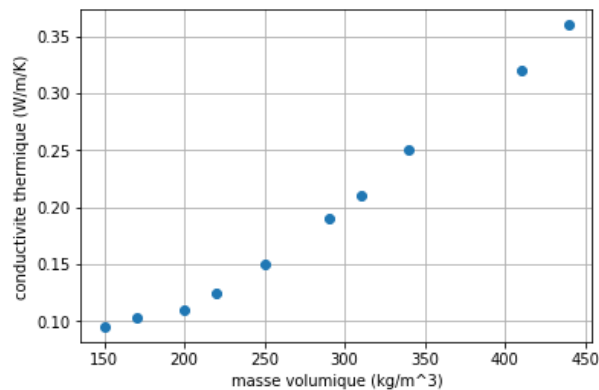
## Résistance de l'igloo

9. On note  $\mathcal{P}(r)$  la puissance thermique traversant la demi-sphère de rayon  $r$ . Exprimer  $\mathcal{P}(r)$  en fonction de  $\lambda$ ,  $r$  et  $\frac{dT}{dr}$ .

10. Montrer que  $\mathcal{P}(r)$  ne dépend pas de  $r$ .

11. En déduire que la résistance thermique de l'igloo s'écrit  $R_{th} = \frac{L}{2\pi\lambda R_1(R_1 + L)}$ .

12. Une étude expérimentale a permis de mesurer la conductivité thermique  $\lambda$  de la neige en fonction de sa masse volumique  $\rho$ . Préciser si le fait de bien tasser les blocs de neige améliore ou non l'isolation de l'igloo. Pour une neige de masse volumique  $\rho = 300 \text{ kg}\cdot\text{m}^{-3}$ , évaluer la résistance thermique de l'igloo.



La circulation d'air provoque de la conducto-convection que l'on prend en compte par le biais de résistances conducto-convectives intérieure et extérieure notée  $R_{cci}$  et  $R_{cce}$ . Ces résistances s'écrivent en fonction de  $h_i$  et  $h_e$ , les coefficients de transfert conducto-convectifs à l'intérieur et à l'extérieur de l'igloo.

13. Etablir un modèle électrique représentant l'igloo faisant figurer les trois résistances  $R_{th}$ ,  $R_{cci}$  et  $R_{cce}$ . Déduire de ce modèle l'expression littérale de la résistance thermique équivalente de l'igloo en fonction de  $\lambda$ ,  $h_e$ ,  $h_i$ ,  $L$  et  $R_1$ .

## Température intérieure de l'igloo

14. Les personnes se trouvant à l'intérieur de l'igloo dégagent une puissance thermique  $\mathcal{P} = 300 \text{ W}$ . On donne  $T_{ext} = -40^\circ\text{C}$ ,  $T_{sol} = -20^\circ\text{C}$ ,  $R_{sol} = 1,3 \text{ K}\cdot\text{W}^{-1}$  et  $R_{igloo} = 0,15 \text{ K}\cdot\text{W}^{-1}$ . Calculer la température intérieure de l'igloo en régime stationnaire.

## II. Méthodes d'Euler explicite et implicite

Aide pour la syntaxe Python

```
import matplotlib.pyplot as plt
```

```
import numpy as np
```

`plt.plot(x, y)` :  $x$  est la liste d'abscisses,  $y$  est la liste des ordonnées, ces deux listes ont le même nombre de termes, on trace la courbe donnant  $y$  en fonction de  $x$ .

`plt.plot(x, y, '+')` ou `plt.plot(x, y, '*')` permet de tracer uniquement les points de mesure en style  $+$  ou  $*$ .

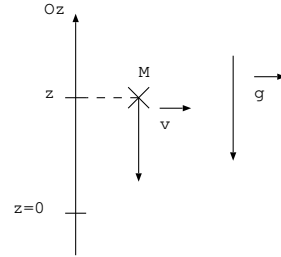
`plt.xlabel('axedesabscisses')` : permet d'écrire le nom et l'unité de l'axe des abscisses

`plt.ylabel('axedesordonnees')` : permet d'écrire le nom et l'unité de l'axe des ordonnées

`plt.grid()` : sert à afficher le quadrillage

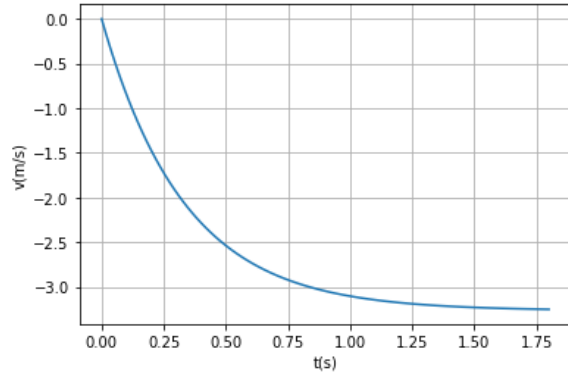
`plt.show()` : permet de visualiser la ou les courbes écrites précédemment.

On étudie la chute d'une bille assimilée à un point matériel de masse  $m$ . Cette bille est abandonnée sans vitesse initiale. Elle se déplace verticalement sous l'action de son poids et de la force de frottement de la forme  $\vec{f} = -mh\vec{v}$  où  $h$  est une constante positive. On note  $Oz$  l'axe vertical ascendant et  $\vec{v} = v(t)\vec{e}_z$  sa vitesse par rapport au référentiel  $\mathcal{R}$  lié au sol et supposé galiléen. On cherche  $v(t)$ . Donnée:  $g = 9.8 \text{ m.s}^{-2}$ .



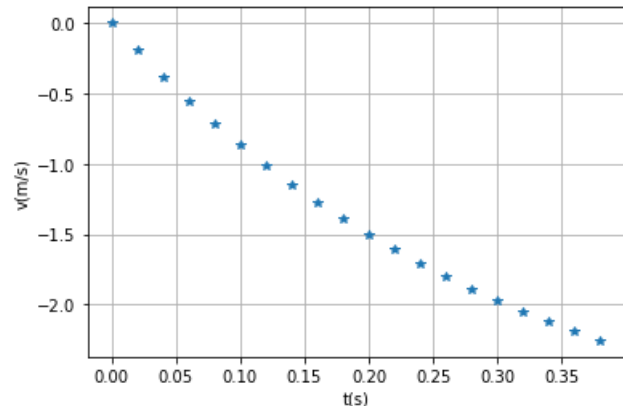
1. Déterminer par application de la RFD à la bille dans  $\mathcal{R}$ , l'équation différentielle notée (\*) vérifiée par  $v(t)$ . En déduire l'expression de  $v(t)$ .

On donne la courbe représentant  $v(t)$ , déduire de cette courbe la valeur numérique de  $h$  en précisant son unité.



On souhaite résoudre cette équation différentielle par la méthode d'Euler. La méthode consiste à découper le temps en pas noté  $\tau$ . On note  $lt$  la liste des temps de la forme  $[0, \tau, 2\tau, \dots, (N-1)\tau]$  et  $lv$  la liste des vitesses associée  $[v(t=0), v(t=\tau), v(t=2\tau), \dots, v(t=(N-1)\tau)]$ .

2. Dans un premier temps, on a résolu l'équation différentielle par la méthode d'Euler explicite. On obtient la courbe  $v(t)$  ci-contre. Déduire de cette courbe les valeurs numériques de  $\tau$  et de  $N$ .



Dans le cas de la méthode explicite, la pente de la tangente à la courbe  $v(t)$  est évaluée en  $t$  soit  $\frac{dv}{dt}(t) =$

$\frac{v(t + \tau) - v(t)}{\tau}$ . En déduire la relation donnant  $v(t + \tau)$  en fonction de  $v(t)$ ,  $\tau$ ,  $g$  et  $h$ .

Compléter le code suivant permettant de calculer les listes  $lt$  et  $lv$  et de tracer la courbe donnée.

```
tau,g=.....
```

```
lt=[..]
```

```
lv=[..]
```

```
for i in range(...):
```

```
—lt.append(....)
```

```
—lv.append(....)
```

Modifier la boucle for en boucle while de façon à ce que la simulation cesse lorsque la vitesse a atteint la vitesse en régime permanent à 1 % près.

**3.** On souhaite maintenant utiliser la méthode d'Euler implicite. Dans cette méthode, la pente de la tangente à la courbe  $v(t)$  est évaluée en  $t + \tau$  soit  $\frac{dv}{dt}(t + \tau) = \frac{v(t + \tau) - v(t)}{\tau}$ . Déduire de cette relation et de l'équation différentielle à résoudre, l'expression de  $v(t + \tau)$  en fonction de  $v(t)$ ,  $\tau$ ,  $g$  et  $h$ . Modifier la ligne de code `lv.append(...)`.

**4.** On donne les trois courbes  $v(t)$  théorique (trait plein), Euler explicite (en style \*) et Euler implicite (en style ●). Commenter le résultat. Que faudrait-il modifier pour obtenir de meilleures simulations?

